

PRILOG 4

ANALIZA PROGNOSTIČKIH POLJA TEMPERATURE I VJETRA
DOBIVENIH DINAMIČKIM MODELOM ZA OGRANIČENU
OBLAST S OROGRAFIJOM

B. Lipovac

1977.

SAŽETAK

Izvršena je analiza prognoziranih polja temperature i vjetra nakon 24 "sata" integracije modela, na nivoima T_2 i T_5 , ostvarena pomoću modela za numeričku prognozu vremena, uz promjenu orografije modela.

Usporedbom rezultata analize pokazano je da izbor visine i oblika orografske prepreke ima odlučujući utjecaj na prognozu polja temperature i vjetra.

Rezultati su pokazali da u sadašnjem modelu i sa sadašnjom šemom integracije, orografska prepreka mora biti izglađena, jer suviše velik nagib dovodi do numeričke nestabilnosti.

SADRŽAJ

1. Uvod	1
2. Analiza prognoziranih polja temperature i vjetra	2
2.1. Prognozirano polje temperature	2
2.2. Prognozirano polje zonalne komponente vjetra	3
2.3. Prognozirano polje meridionalne komponente vjetra	4
3. Zaključak.	6

1. UVOD

MODEL 1 - bez orografije za numeričku prognozu vremena, pokazao je dobre rezultate u prognozi polja temperature i tlaka, te vjetra. Jedan od koraka u razvoju modela je uvođenje orografije tla. Izbor orografije za MODEL 2, prikazan je u radu Jurčec, Branković - Objektivna prognoza vremena, 1975.

U MODELU 2 izvršena su dva izbora orografske prepreke, ALPE 1 maksimalna visina prepreke 3000 m, i ALPE 2 kod koje je vrh reducirana na 1000 m, i Alpe su generirane s tri točke na 2000 m i nižim visinama.

Analiza polja temperature i vjetra izvršena je na sigma nivoima modela. U modelu je definirano pet sigma nivoa za vrijednosti $\bar{\Psi} = 0.15, 0.425, 0.650, 0.825, 0.950$, u obzir su uzete i vrijednosti $\bar{\Psi}_s = 1.0$ na nivou orografije i $\bar{\Psi}_t = 0.0$ na gornjoj granici modela. Za prizemni tlak 1000 mb, tlak na nivoima izgledao bi ovako:

$\bar{\Psi}_t = 0$	100 mb
$\bar{\Psi}_1 = 0.15$	235 mb
$\bar{\Psi}_2 = 0.425$	483 mb
$\bar{\Psi}_3 = 0.65$	685 mb
$\bar{\Psi}_4 = 0.825$	843 mb
$\bar{\Psi}_5 = 0.95$	955 mb
$\bar{\Psi}_s = 1.0$	1000 mb.

MODEL 2 koristi antireducirani tlak na nadmorske visine točaka pomoću formule:

$$P_{\text{or}} = P_0 e^{\left(\frac{-9.8 H}{R (T_0 + t)} \right)}$$

P_0 prizemni reducirani tlak interpoliran na računske točke modela iz sinoptičkih podataka, H nadmorska visina točke u metrima, R plinska konstanta i t temperatura interpolirana na računske točke iz sinoptičkih podataka. Uvažavanje antireduciranog tlaka u MODELU 2 automatski povlači promjene visine sigma ploha modela. Promjena visine sigma ploha modela uzrokuje i promjene početnih vrijednosti elemenata na tim plohamama.

2. ANALIZA PROGNOZIRANIH POLJA TEMPERATURE I VJETRA

Model za numeričku prognozu vremena primjenjen je na podatke motrenja na dan 21.07.1973. godine u 01 sat. Tražena je prognoza polja meteoroloških elemenata za dan 22.07.1973. u 01 sat.

Sinoptička situacija dana 21.07.1973. okarakterizirana je bezgradijentnim poljem povišenog tlaka, koje zahvaća zapadni i srednji Mediteran te Balkanski poluotok, i ciklonom sa središtem iznad južnog dijela Skandinavije. Slabo izražena frontalna zona proteže se od Holandije do Pirinejskog poluotoka.

Analiza prognoziranih polja temperature i vjetra vršena je za sva tri modela, svaka tri "sata" integracije. Ovdje su ukratko prikazani rezultati rada modela za $T_0 + 24$ na nivoima ∇_2 i ∇_5 . Izbor nivoa je namjeran, nivo ∇_2 nalazi se u neposrednoj blizini izobarne plohe AT 500 mb, a nivo ∇_5 približno prikazuje raspored meteoroloških elemenata u prizemnom sloju atmosfere.

2.1. PROGNOZIRANO POLJE TEMPERATURE

MODEL 1 i MODEL 2-ALPE 2 daju slične rezultate prognoze polja temperature na nivou ∇_2 nakon 24 "sata" integracije modela. U oba slučaja dolazi do formiranja dva odvojena centra hladnog zraka, jedan sjeverno od Velike Britanije i drugi u području Danske. Nad srednjom i zapadnom Evropom izoterme su zonalno položene sa slabim gradijentom temperature nad Alpama. Gradijent temperature izraženiji je kod MODELA 2-ALPE 2.

Slika 2.1.1. prikazuje prognozirano polje temperature na nivou ∇_2 ostvareno pomoću MODELA 1, na slici 2.1.2. prikazano je polje temperature na istom nivou ostvareno pomoću MODELA 2-Alpe 2.

Rezultati integracije MODELA 2-ALPE 1, slika 2.1.3., ne uklapaju se u opću predodžbu o izgledu temperaturnog polja u slobodnoj atmosferi na visini 500 mb plohe. Nakon 24 "sata" integracije dolazi do formiranja zatvorenih izotermi, jezgara toplijeg i hladnijeg zraka, zonalno položenih u zavjetrini orografske prepreke. Prognozirani položaj centara ne odgovara opažanju, a formiranja temperaturna razlika dovodi do pojavljivanja nerealno velikog horizontalnog gradijenta temperature.

Prognozirano polje temperature na nivou ∇_5 kod MODELA 1 i MODELA 2-ALPE 2 pokazuju sličnosti, slika 2.1.4. i 2.1.5., među-

tim prognozirano polje temperature pomoću MODEL A 2-ALPE 1, slika 2.1.6., znatno odstupa.

Kod MODEL A 1 dolazi do formiranja gradijenta temperature u području sjevernog Jadrana i Alpi. Nad područjem Balkanskog poluo-toka nalazi se termički greben.

MODEL 2-ALPE 2 daje mnogo izrazitiji gradijent temperature u području Alpa i sjeverozapadnih krajeva Jugoslavije. Termička dolina pomaknuta je više prema istoku, u odnosu na prognozirani položaj doline pomoću MODEL A 1. Zapadni krajevi Jugoslavije nalaze se pod utjecajem prednje strane termičke doline i u području jakog gradijenta temperature. Termički greben nad Balkanskim poluo-tokom izraženiji je nego kod MODEL A 1.

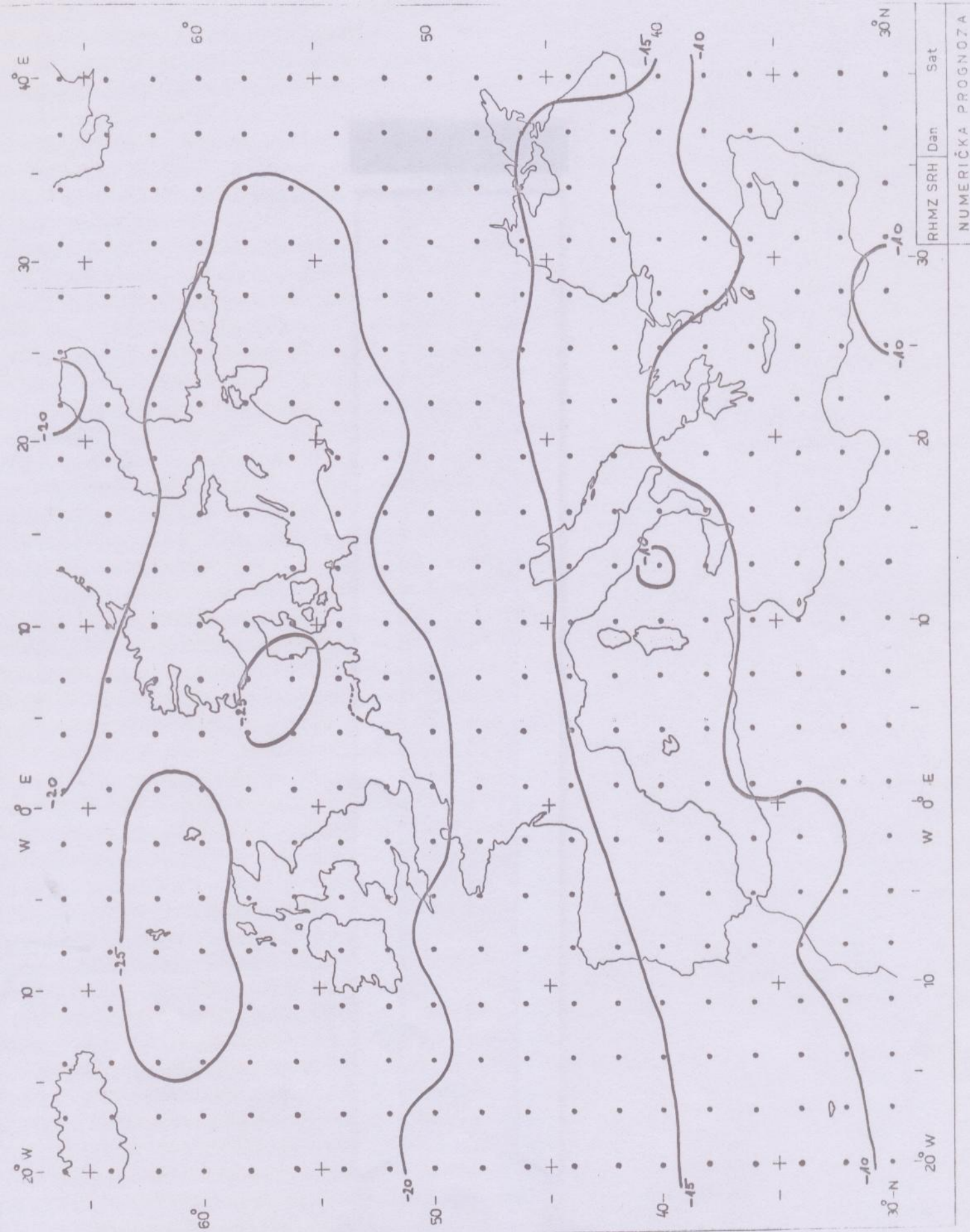
MODEL 2-ALPE 1 daje jak pad temperature ispred orografske prepreke, sjeverozapadno od Alpi formira se jezgra hladnog zraka, (zatvorena izoterna 5°C). Nad sjevernom Italijom dolazi do formiranja nerealno velikog gradijenta temperature. Utjecaj orografske prepreke "osjeća" se uzvjetar i očituje se u padu temperature, na zavjetrinskoj strani dolazi do manjeg pada temperature. Gradijent temperature najveći je nad orografskom preprekom.

Promatranje i analiza temperature u MODELU 1 i MODELU 2-ALPE 2 na svim nivoima integracije i nakon svaka tri "sata" integracije, pokazala je da u prvom periodu integracije, do $T_0 + 12$, dolazi do porasta temperature u istočnom djelu oblasti integracije i do slabog pada temperature u zapadnom djelu oblasti integracije. Ta preraspodjela temperature pogoduje stvaranju termičkog gradijenta u oblasti Alpi. U drugom periodu integracije, $T_0 + 24$, dolazi do zahladjenja u cijeloj oblasti integracije, osim na rubovima područja, i do pomicanja izoterme prema jugu.

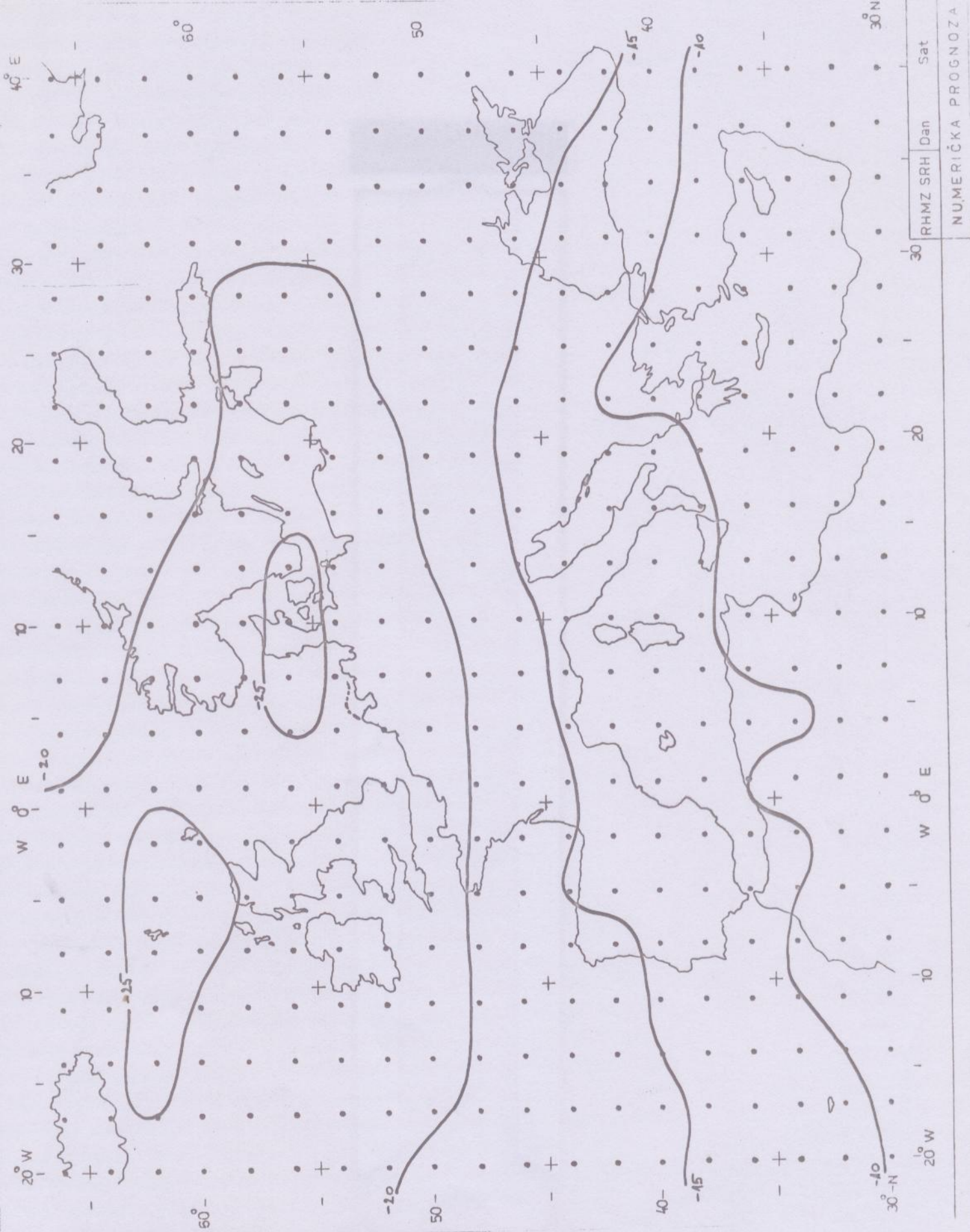
2.2. PROGNOZIRANO POLJE ZONALNE KOMPONENTE VJETRA

Kod analize prognoziranog polja zonalne komponente vjetra pokazalo se da su polja vjetra ostvarena MODELOM 1 i MODELOM 2-ALPE 2 međusobno usporediva, dok prognozirano polje MODEL A 2-ALPE 1 odstupa od svih analiza.

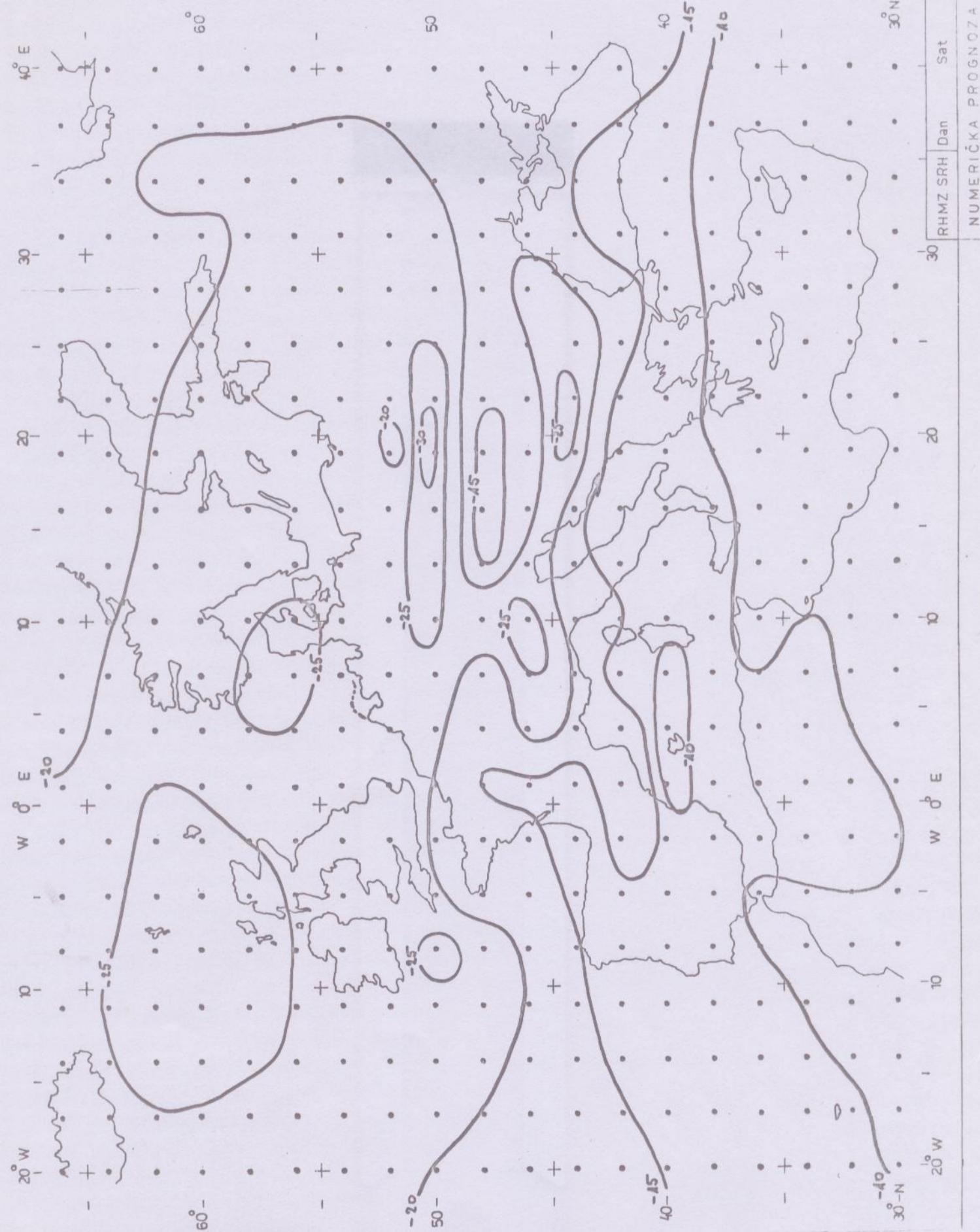
Na nivou \overline{V}_2 kod MODEL A 1 uočava se izraženo područje maksimalnog vjetra, brzina veća od 30 ms^{-1} , nad Genovskim zaljevom s maksimalnim iznosom brzine 33.1 ms^{-1} , slika 2.2.1.



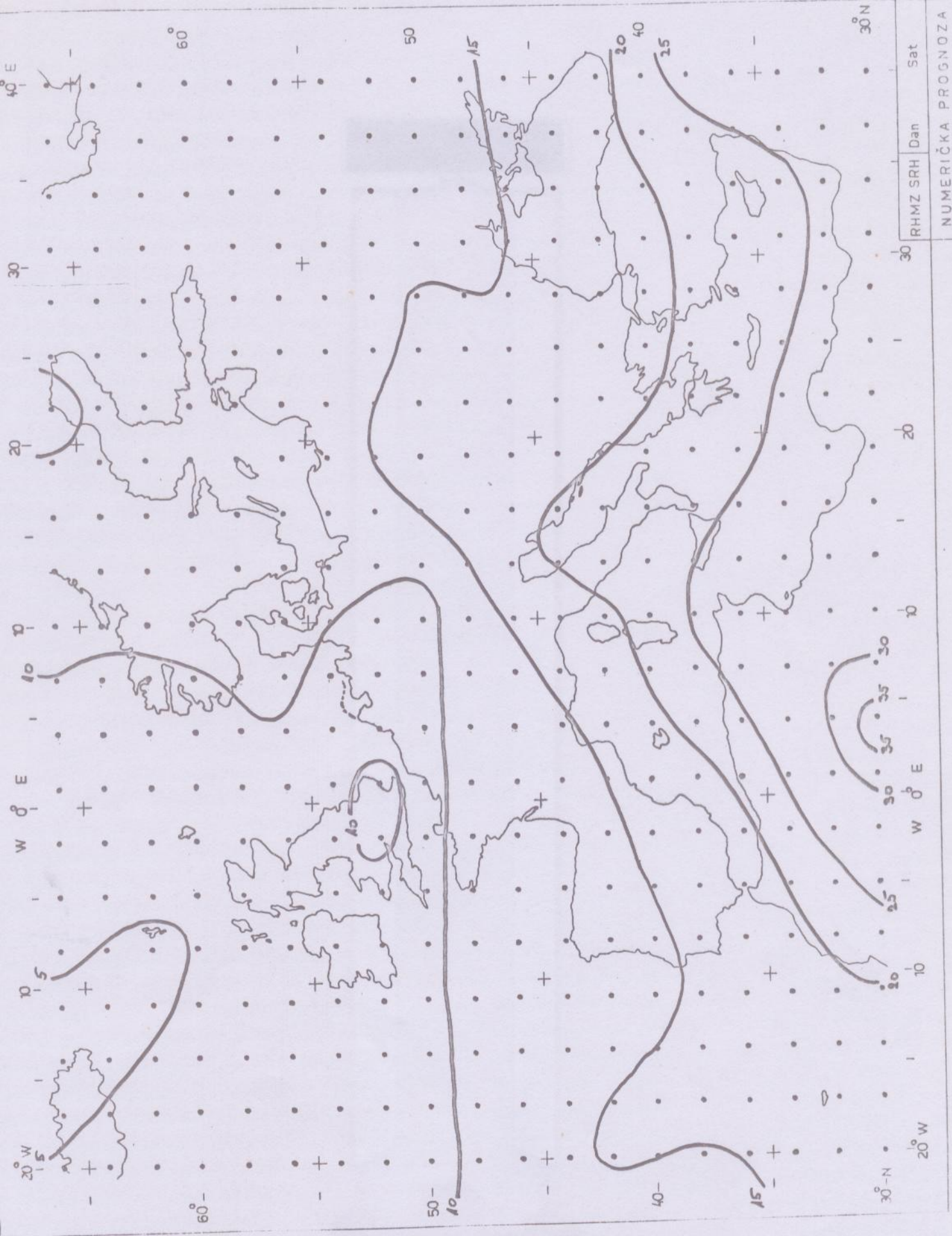
Sl. 2.1.1. temperatura, $T_0 + 24$, σ_2 , MODEL 1



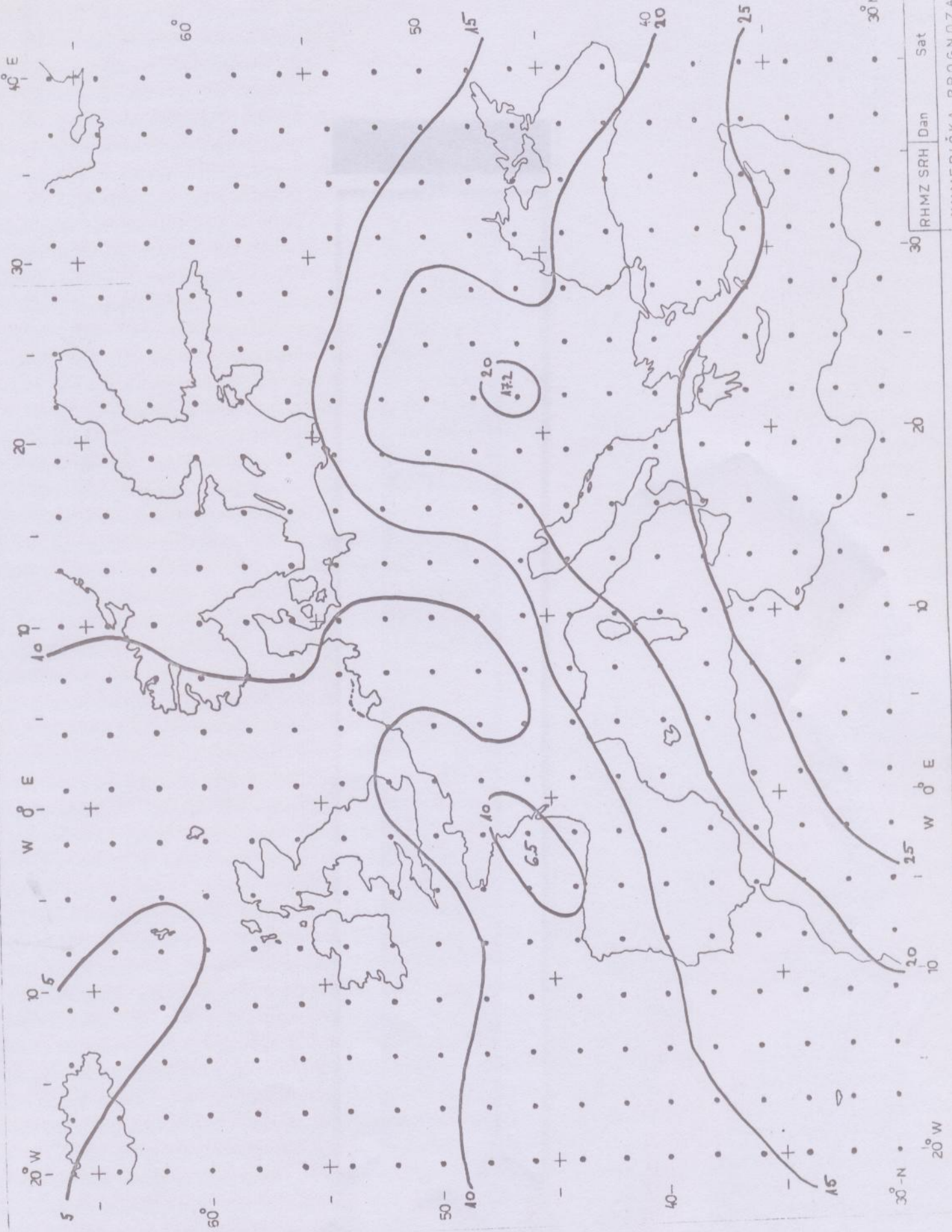
Sl. 2.1.2. temperatura, $T_0 + 24$, G₂, MODEL 2-ALPE 2



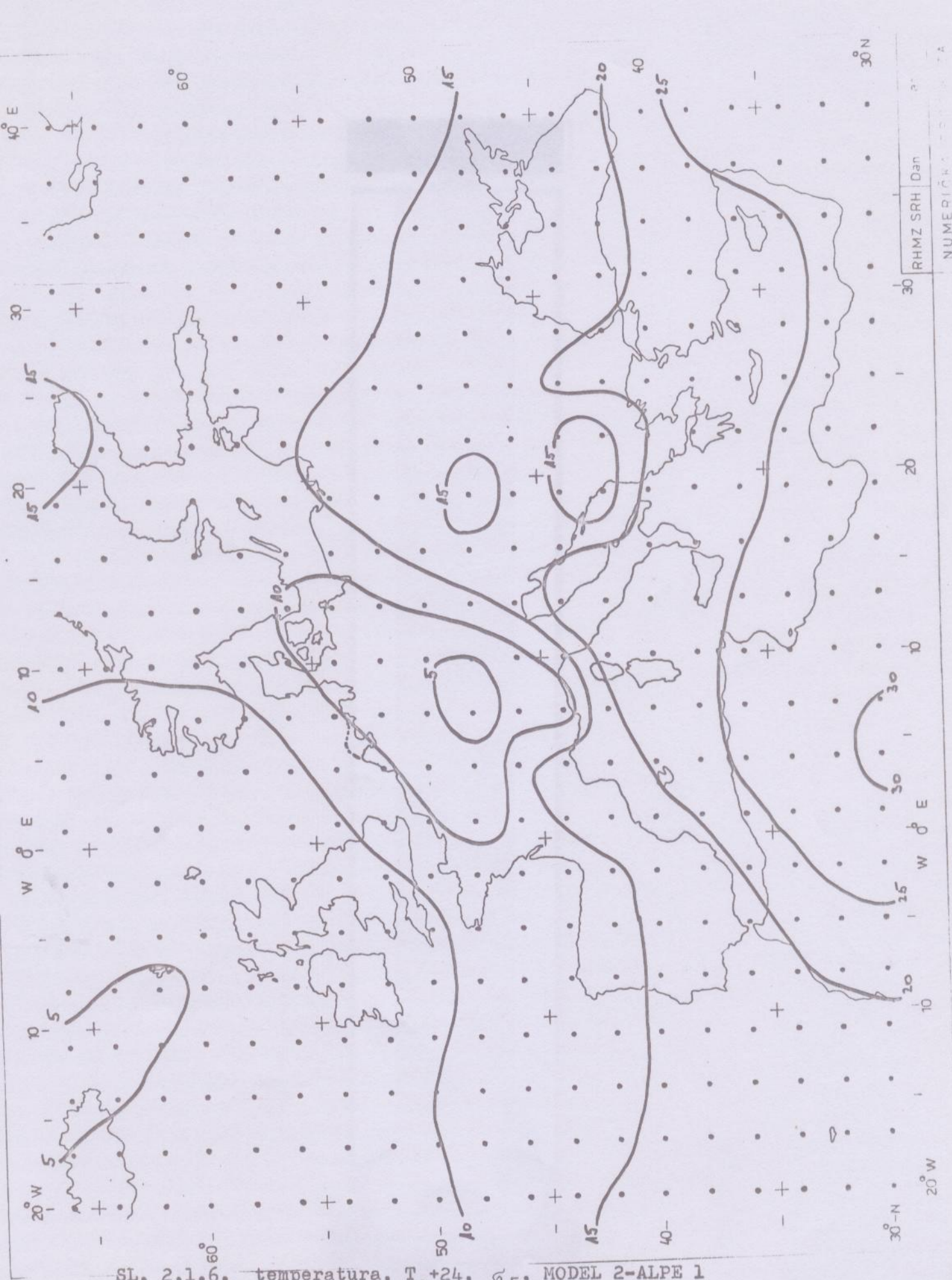
Sl. 2.1.3. temperatura, $T_0 + 24, G_2$, MODEL 2-ALPE 1



Sl. 2.1.4. temperatura, $T +24, 65^{\circ}\text{S}$, MODEL 1



Sl. 2.1.5. temperatura, $T_0 + 24$, G_5 , MODEL 2-ALPE 2



SL. 2.1.6. temperatura, $T_0 + 24$, σ_5 , MODEL 2-ALPE 1

Kod MODEL A 2-ALPE 2 područje zatvoreno izotahom 30 ms^{-1} je veće nego kod MODEL A 1, i zahvaća sjeverozapadno Sredozemlje, Jadran i zapadne krajeve Jugoslavije, maksimalni iznos brzine je 37.8 ms^{-1} , slika 2.2.2.

Važno je napomenuti da u početnom polju vjetra, u čas T_0 , na nivou Γ_2 nema zatvorene izotahе brzine iznosa 30 ms^{-1} . Tokom integracije došlo je do porasta zonalne komponente brzine vjetra.

Kod MODEL A 2-ALPE 1, polje izotaha zonalne komponente vjetra mnogo je složenije, slika 2.2.3. Pojavljuju se centri velike brzine, do 43.1 ms^{-1} , zapadne (pozitivne vrijednosti) komponente strujanja, i neposredno uz njih centri istočne (negativne vrijednosti) komponente brzine.

Djelovanje orografije u MODELU 2-ALPE lvidi se na slici 2.2.4., koja prikazuje prognozirano polje zonalne komponente vjetra na nivou Γ_5 . Nizvjetar od orografske prepreke dolazi do formiranja tri izražena centra zapadne komponente brzine, koji su razdvojeni centrima istočne komponente strujanja.

Kod MODEL A 1 i MODEL A 2-ALPE 2, na nivou Γ_5 , slika 2.2.5. i 2.2.6., razlika je u iznosu maksimalne brzine vjetra. Kod MODEL A 1 nad područjem Alpi maksimalna brzina zonalne komponente vjetra iznosi 16.2 ms^{-1} , a kod MODEL A 2-ALPE 2 20.1 ms^{-1} . U oba slučaja dominantna je zonalna struja zapadnog smjera.

Promatranje promjene zonalne komponente brzine vjetra, na svim nivoima modela, za svakih šest "sati" integracije, pokazuje kod MODEL A 1 i MODEL A 2-ALPE 2 postupno smanjenje brzine vjetra na najvišem nivou modela i porast brzine na nižim nivoima modela. Kod MODEL A 2-ALPE 2 u čas T_0 , na nivou Γ_5 maksimalna brzina iznosi 13.1 ms^{-1} , a u čas $T_0 + 24$ 20.1 ms^{-1} . Kod MODEL A 2-ALPE 1 dolazi do pojave negativnih vrijednosti zonalne komponente vjetra, odnosno do istočne komponente strujanja, u zavjetrini orografske prepreke.

2.3. PROGNOZIRANO POLJE MERIDIONALNE KOMPONENTE VJETRA

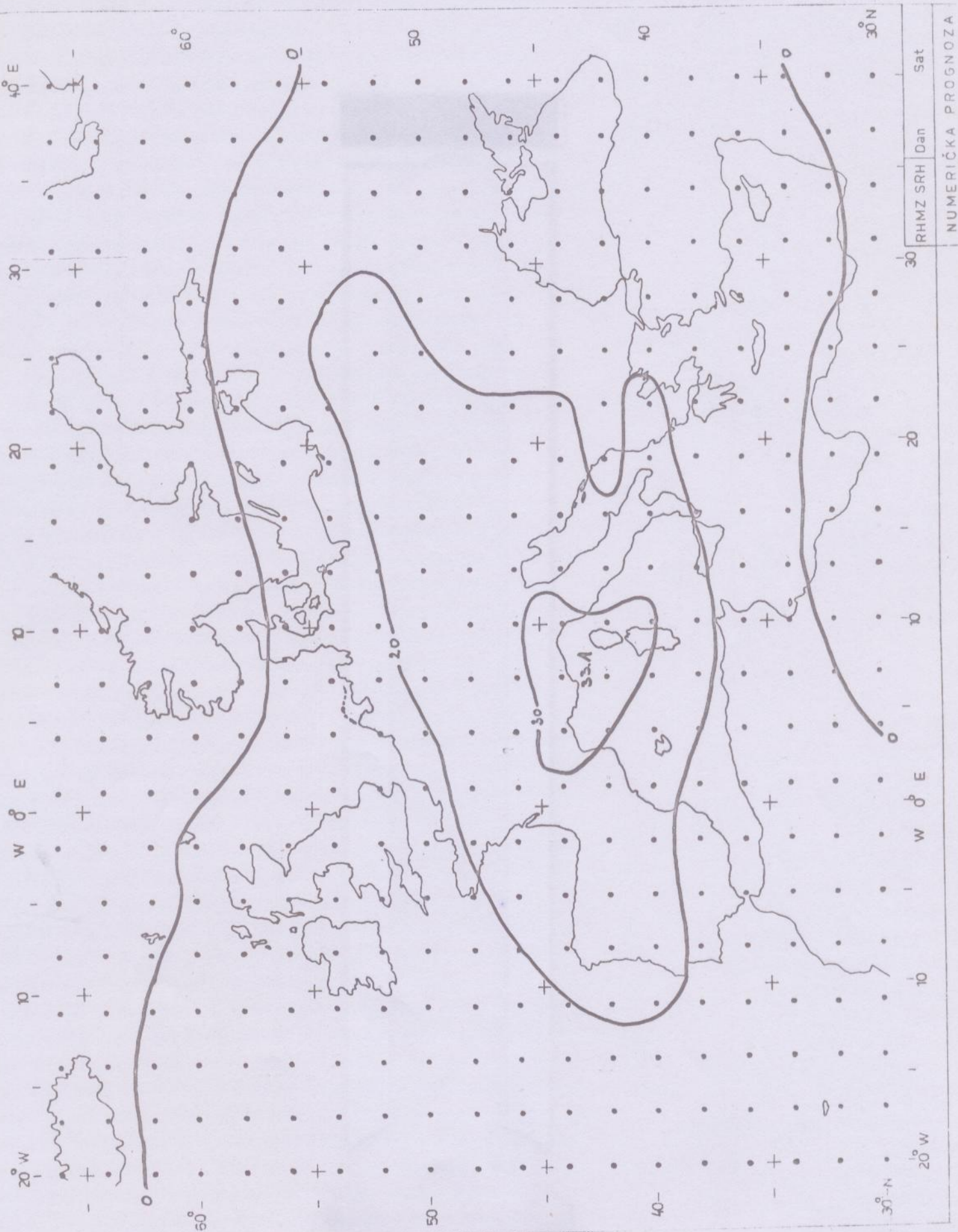
Rezultati numeričke integracije MODEL A 1 i MODEL A 2-ALPE 2 pokazuju sličnosti u polju prognoziranih vrijednosti meridionalne komponente vjetra. MODEL A 2-ALPE 1 daje rezultate koji se ne uklapaju u predodžbu o izgledu polja vjetra, niti se ne podudaraju s analizom stvarne situacije.

Kod MODEL A2-ALPE 1 na nivou ∇_2 i ∇_5 pojavljuju se odvojeni centri pozitivne (juzne) i negativne (sjeverne) komponente vjetra, slika 2.3.1. i 2.3.2. Na nivou ∇_2 maksimalni iznos južne komponente iznosi 20.4 ms^{-1} , a nalazi se iznad Španjolske. Sjeverna komponenta strujanja ima maksimum iznad Jugoslavije iznosa 19.4 ms^{-1} . Na nivou ∇_5 maksimum južne komponente je 16.2 ms^{-1} nad sjevernim Jadranom, a maksimum sjeverne komponente je 17.6 ms^{-1} nad južnim Jadranom.

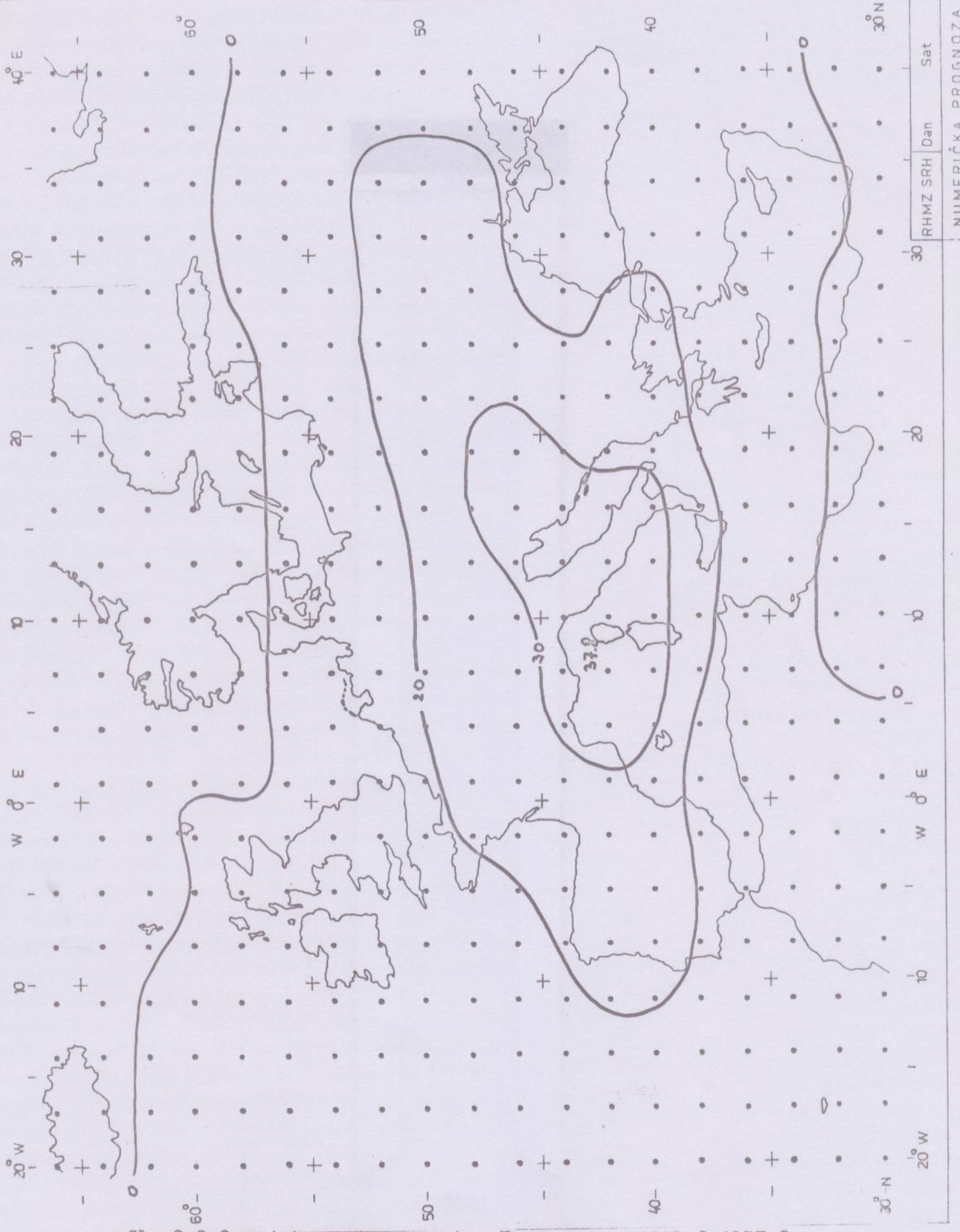
MODEL 1 za nivo ∇_2 daje os promjene smjera vjetra sa sjevernog na južni, (izotaha vrijednosti 0), iznad Španjolske, Francuske i Danske, ona koincidira s položajem osi baričke doline, i iznad sjeverne Italije i istočnih krajeva Jugoslavije, ona koincidira s položajem osi baričkog grebena. Slika 2.3.3. prikazuje izotahе meridionalne komponente vjetra na nivou ∇_2 prognoziranu MODELOM 1.

Slične rezultate prognoze meridionalne komponente daje i MODEL 2-ALPE 2, slika 2.3.4. Os promjene smjera vjetra s sjevernog na južni pomaknuta je više prema istoku i nalazi se iznad sjeverne Italije i Alpi. Na nivou ∇_5 kod MODEL A2-ALPE 2 situacija je analoga, ponovo je došlo do pomicanja osi doline prema istoku, slika 2.3.5. u odnosu na prognozirani položaj osi doline MODELOM 1, slika 2.3.6.

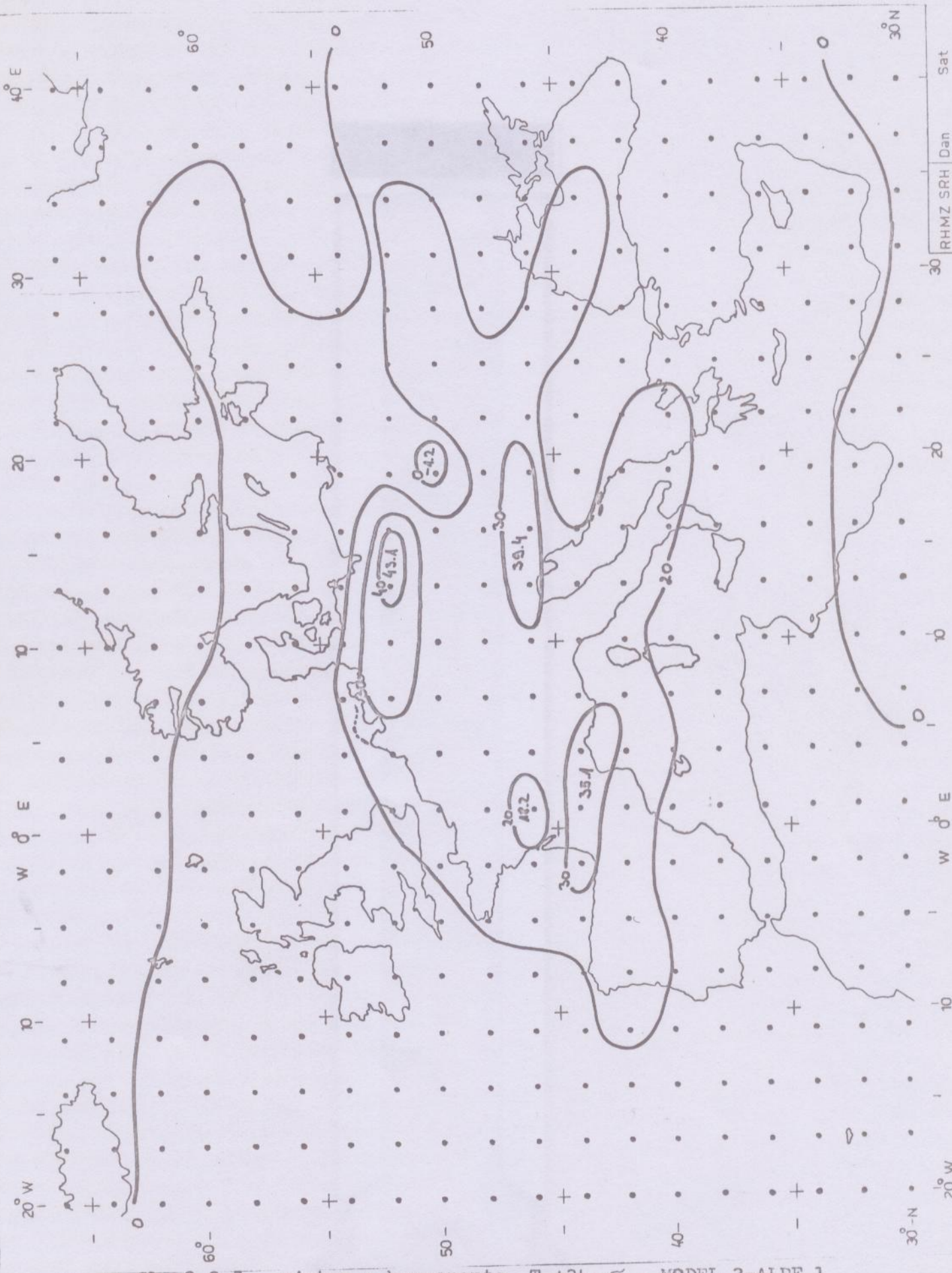
Promatranje promjene meridionalne komponente brzine vjetra, ma svim nivoima modela, za svakih šest "sati" integracije, pokazuje kod MODEL A1 i MODEL A2-ALPE2 postupno smanjenje područja južnog strujanja i postupno proširenje sjevernog strujanja na cijelo područje. Pomicanje izotahе 0 prema istoku ukazuje na postupno premještanje osi doline prema istoku.



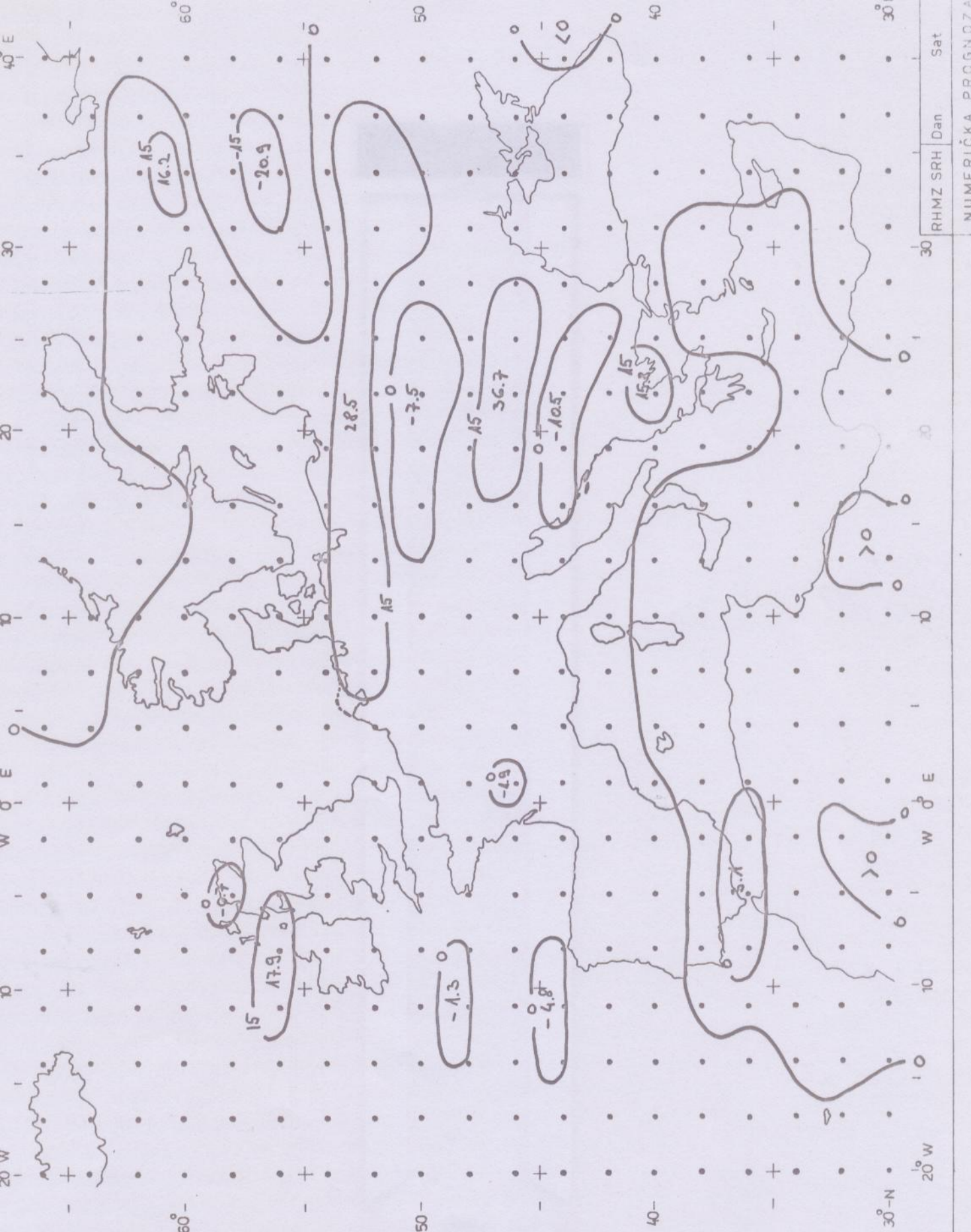
Sl.2.2.1. vjetar u komponenta, T_0^{+24} , ζ_2 , MODEL 1



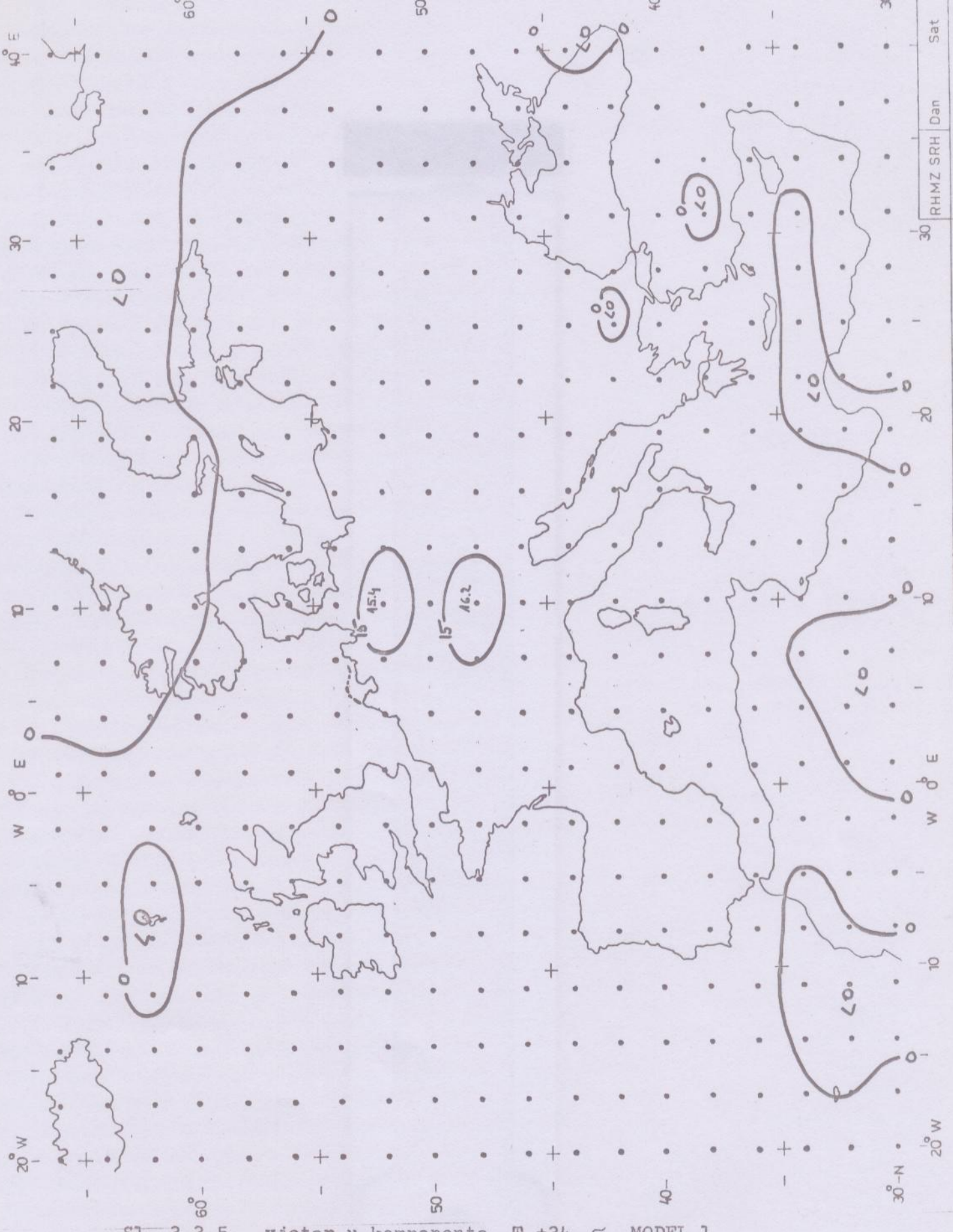
Sl. 2.2.2. vjetar u komponenta, $T_0 + 24$, G_2 , MODEL 2-ALPE 2

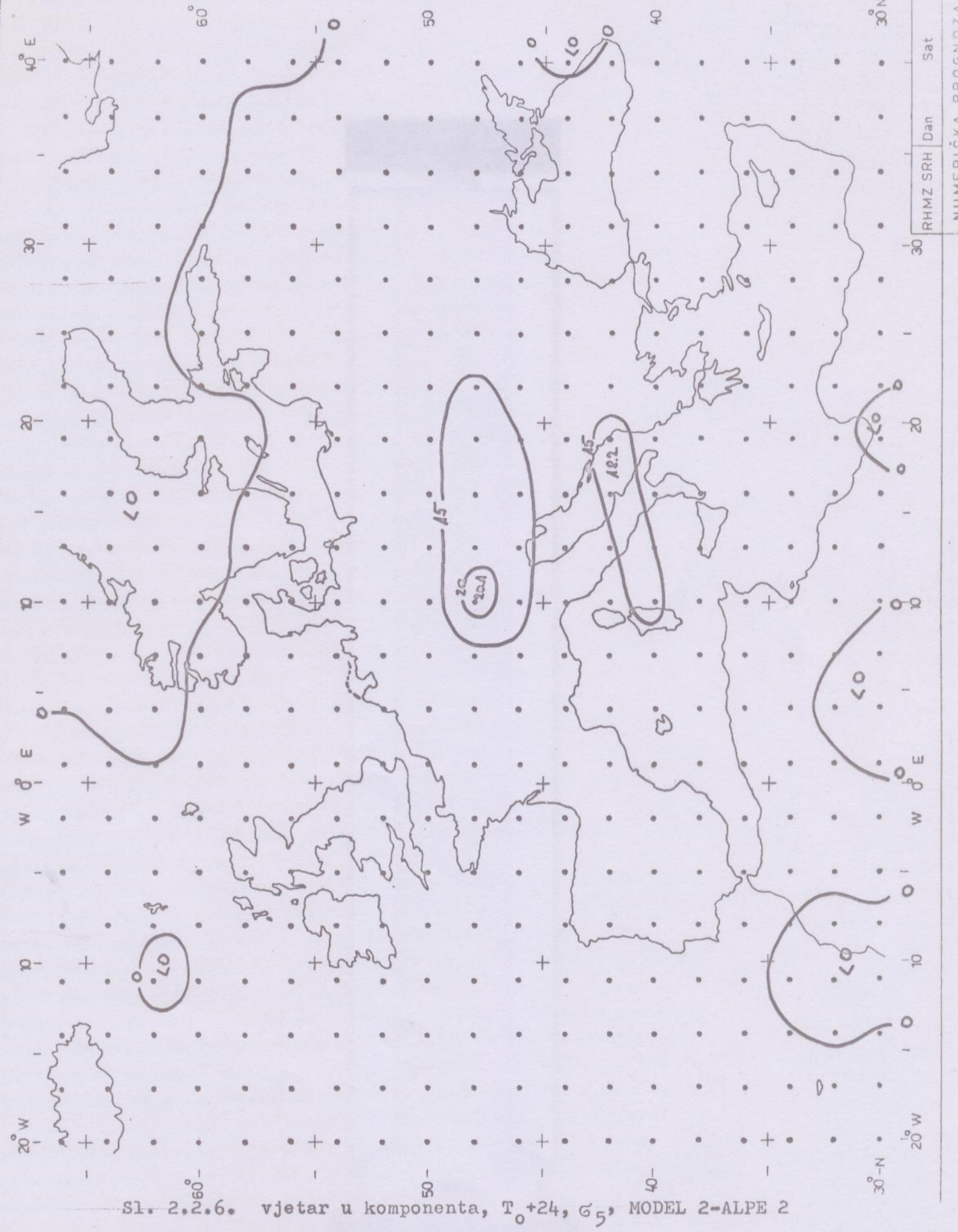


Sl. 2.2.3. vjetar u komponenta, $T_0 + 24$, G_2 , MODEL 2-ALPE 1

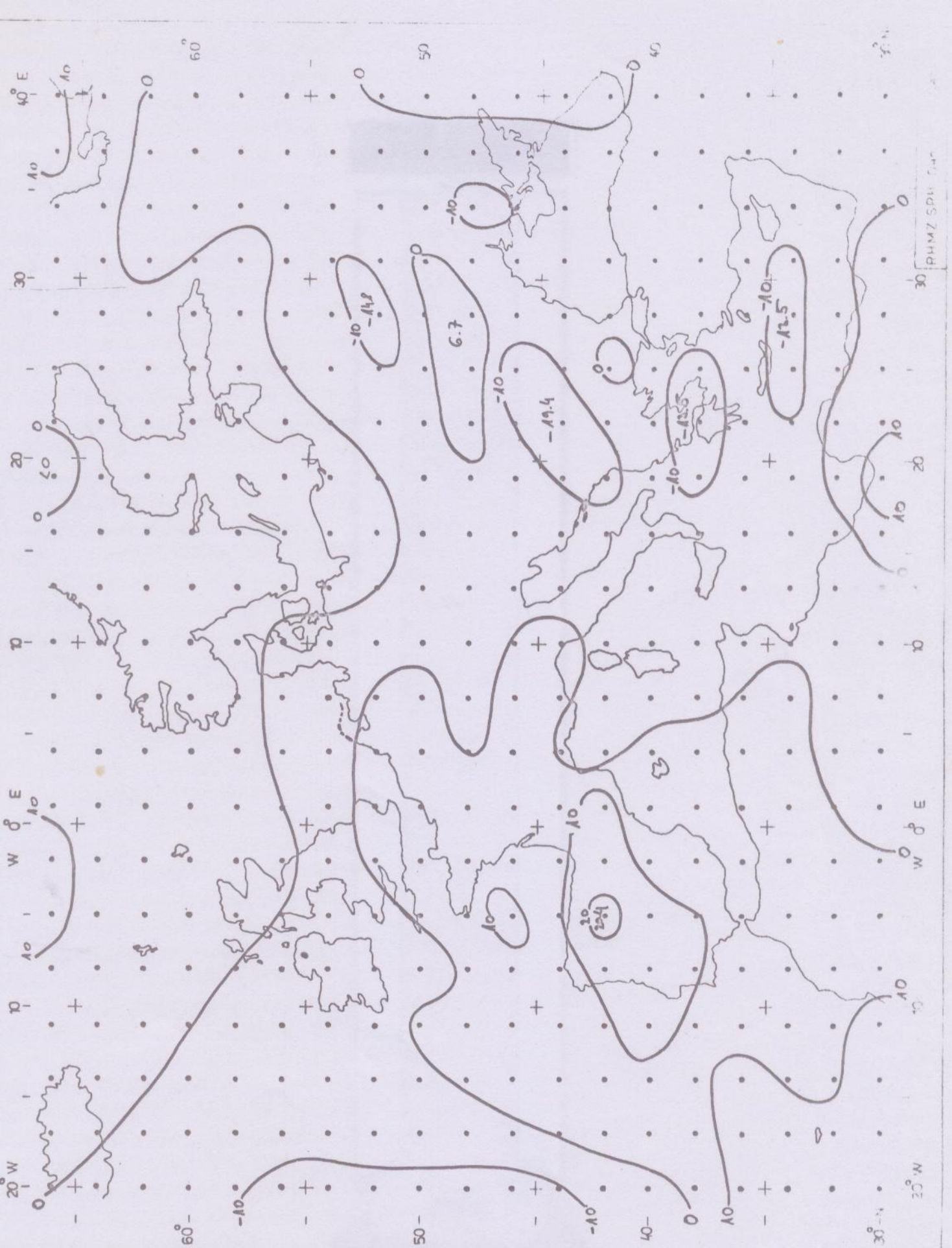


Sl. 2.2.4. vjetar u komponenta, G_5 , $T_0 +24$, MODEL 2-ALPE 1

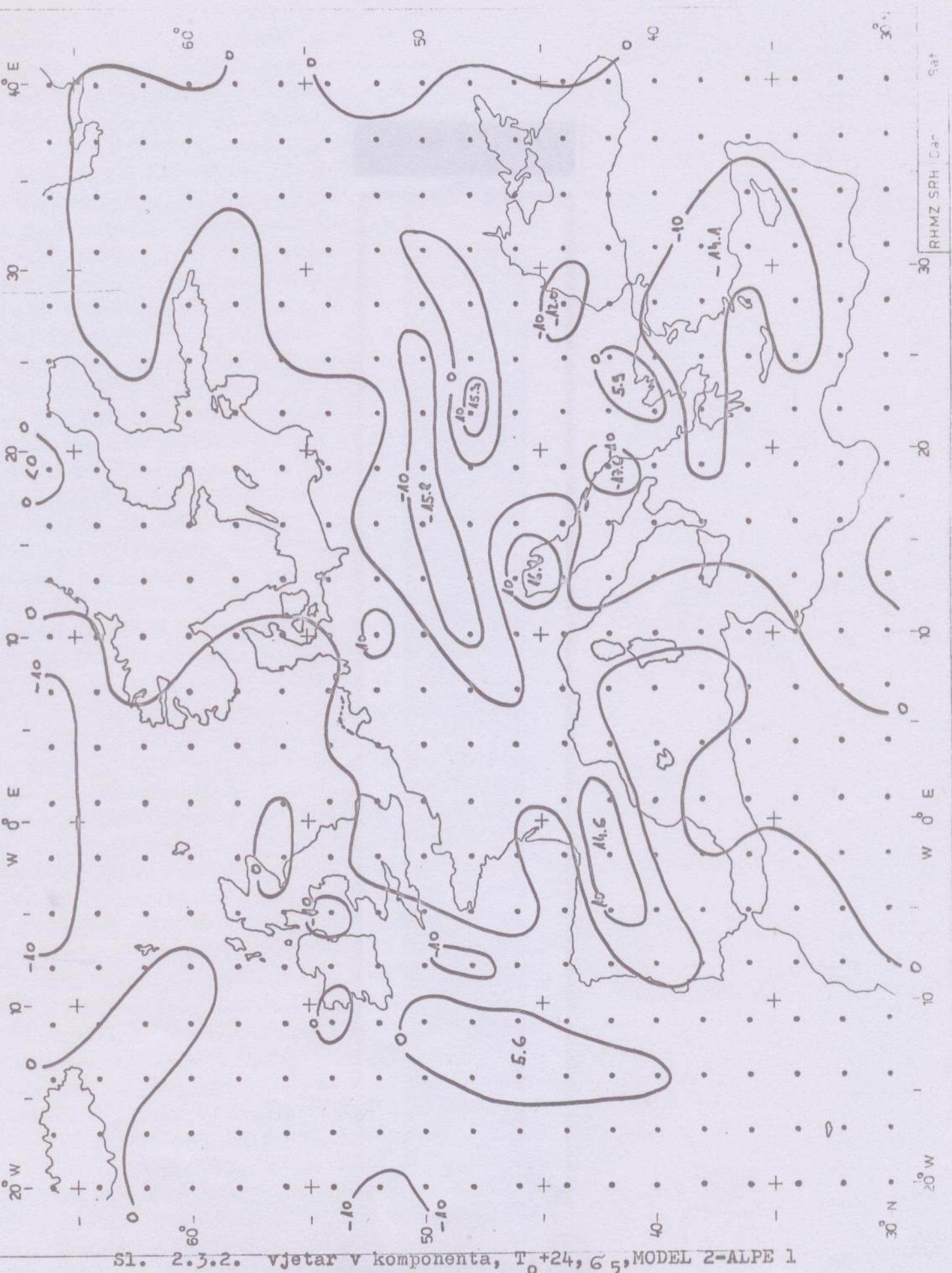
Sl. 2.2.5. vjetar u komponenta, $T_0 + 24$, σ_5 , MODEL 1



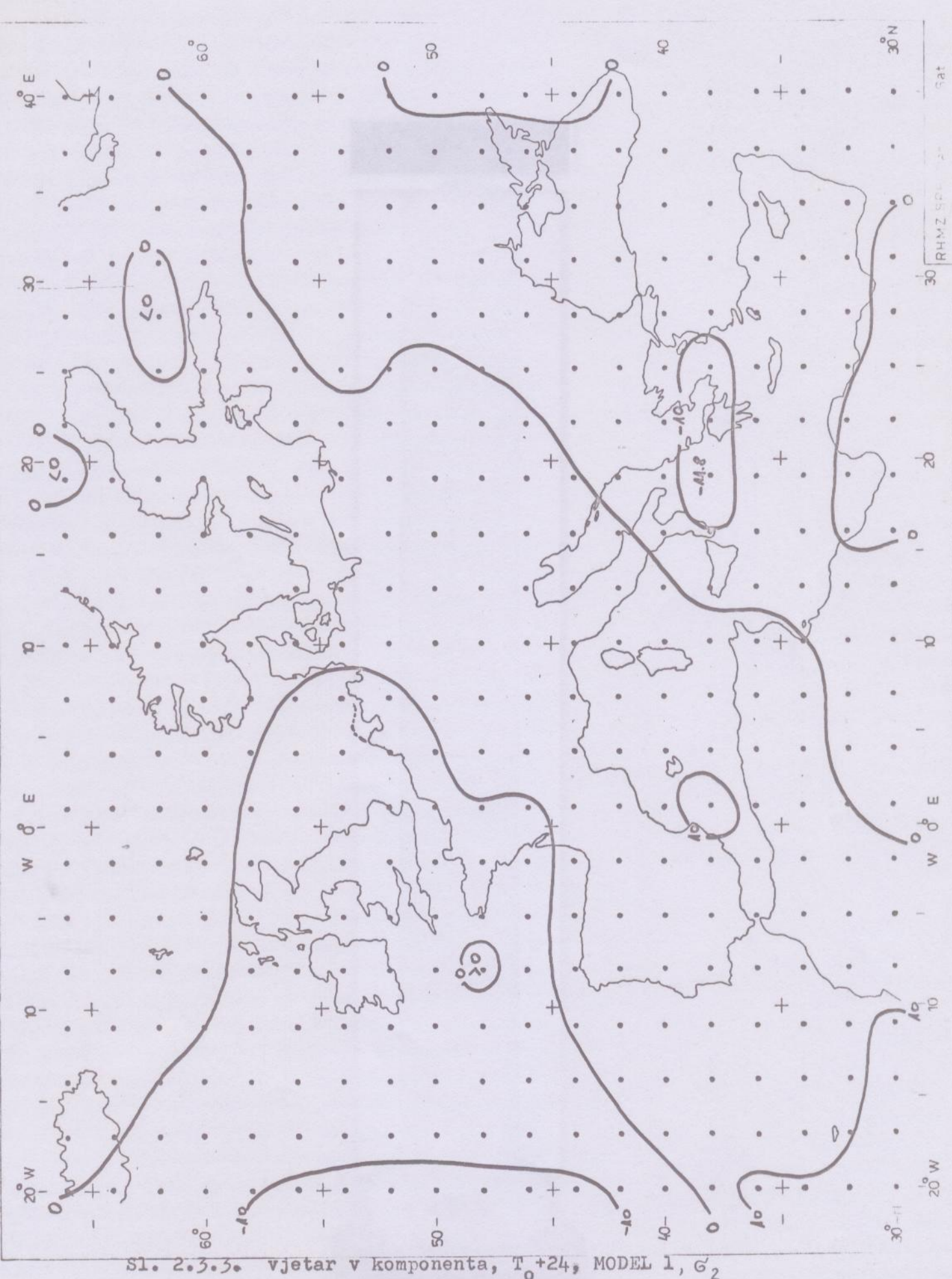
Sl. 2.2.6. vjetar u komponenta, $T_0 + 24$, σ_5 , MODEL 2-ALPE 2

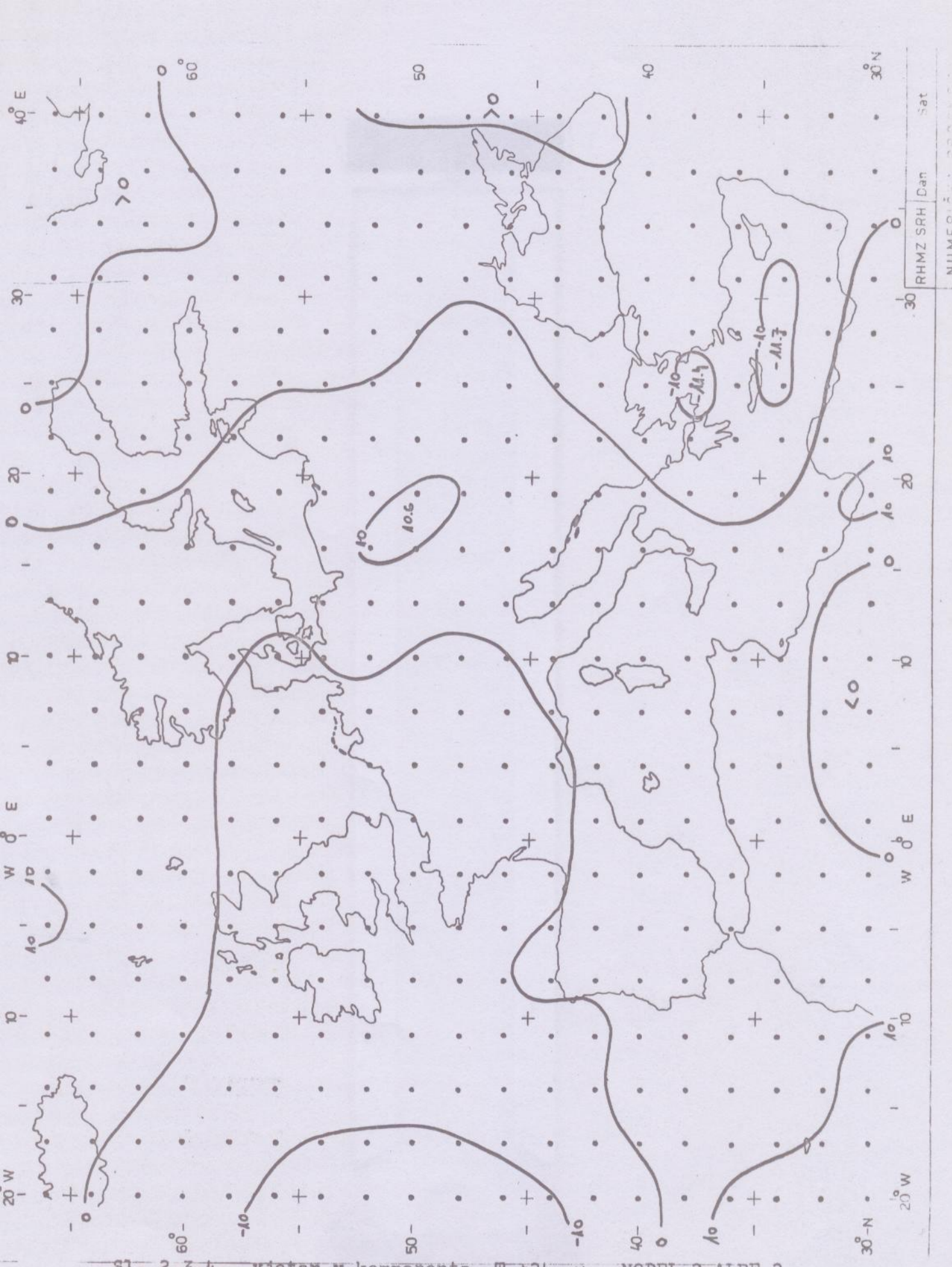


Sl. 2.3.1. vjetar v komponenta, $T_0 + 24$, G_2 , MODEL 2-ALPE 1

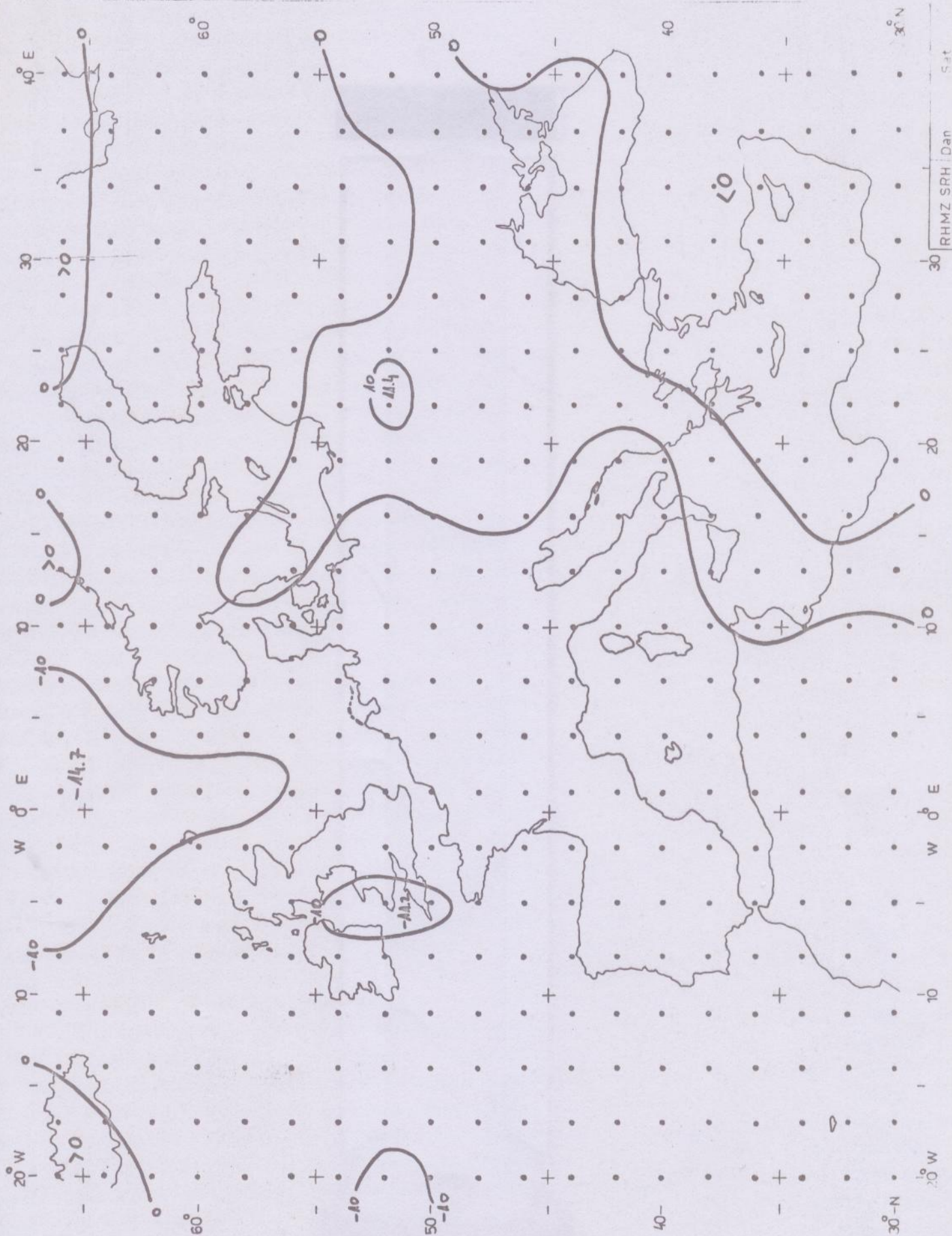


Sl. 2.3.2. vjetar v komponenta, $T_0 + 24, G_5$, MODEL 2-ALPE 1

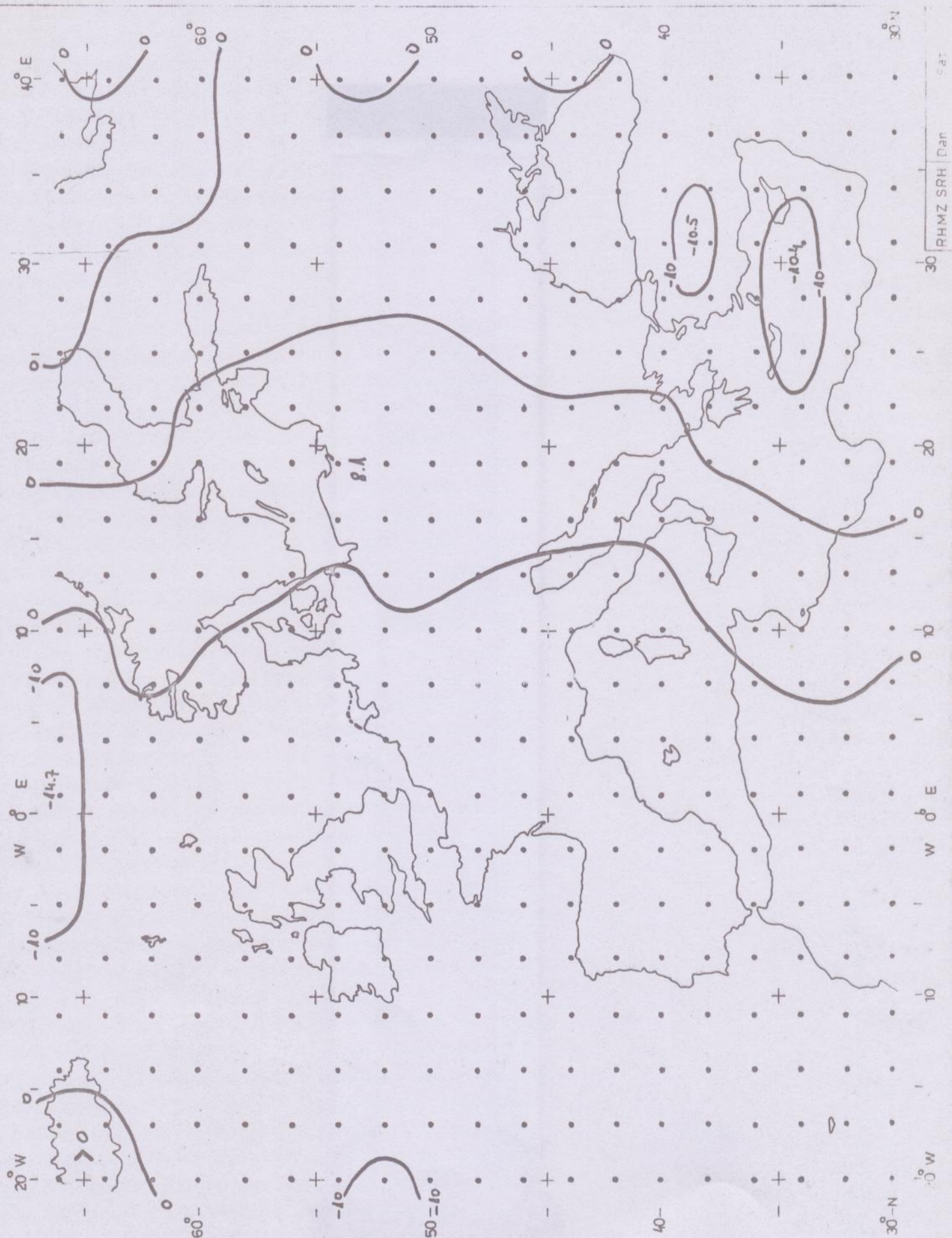




S1. 2.3.4. vjetar v komponenta, $T_0 + 24$, G₂, MODEL 2-ALPE 2



Sl. 2.3.5. vjetar v komponenta, $T_0+24, 6^{\circ}_5$, MODEL 2-ALPE 2



Sl. 2.3.6. vjetar v komponenta, $T_0 + 24$, G_5 , MODEL 1

3. ZAKLJUČAK

Analiza prognoze meteoroloških polja ostvarene numeričkim modelom za ograničenu oblast, bez orografije (MODEL 1) i s orografijom (MODEL 2), pokazala je da orografska prepreka ima odlučujući utjecaj na rezultate numeričke prognoze. S MODELOM 2 učinjena su dva eksperimenta uz različit izbor oblika i visine orografske prepreke, eksperiment ALPE 1 (vrh prepreke na 3000 m), i eksperiment ALPE 2 (vrh prepreke reducirana za 1000 m).

MODEL 1 i MODEL 2-ALPE 2 daju usporedive rezultate, a rezultati MODELA 2-ALPE 1 odstupaju od svih predodžbi o izgledu polja meteoroloških elemenata.

MODEL 2-ALPE 1 u polju temperature generira niz izoliranih kaplji hladnog zraka, i jake gradijente temperature iznad orografske prepreke. U polju vjetra dolazi do formiranja jake istočne struje, oko 50° geografske širine, u zavjetrini orografske prepreke. Ovi rezultati posljedica su strmog nagiba orografije i pokazuju da se u radu modela prihvatljivi rezultati mogu ostvariti samo jačim izgladjivanjem orografije, u kojoj visina prepreke ne prelazi 2000 metara.

Literatura

- Jurčec, V. i Č. Branković, 1975: Objektivna prognoza vremena.
Prvi rezultati integracije modela za ograničenu
oblast s primitivnim jednadžbama u sigma koordi-
natnom sistemu. RHMZ SR Hrvatske. 60 str.
- Kisegi, M., 1976: Primjena metoda objektivne analize stanja
atmosfere iznad južnog dijelova Evrope. Mag. rad,
Sveuč. u Zagrebu, Prirod.-matem. fak. 97 str.
- Mesinger, F. i Z.I. Janjić, 1973: Opis modela za ograničenu
oblast s primitivnim jednačinama na finoj mreži
pogodnog za objektivnu prognozu veličina u prize-
mnom graničnom sloju. Eksperimentalna provera modela.
Centar za atmosferske nauke pri Prirod.-matem. fak.
u Beogradu. 50 str.